

УДК 533.9 + 537.56

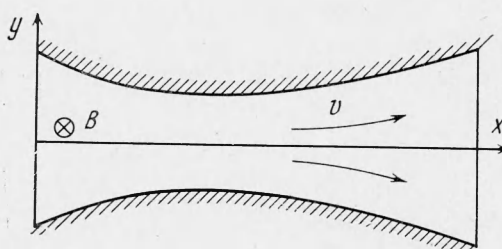
ОБРАЗОВАНИЕ ВИХРЕЙ ЭЛЕКТРИЧЕСКОГО ТОКА
ПРИ ТЕПЛОВОМ УСКОРЕНИИ ПОЛНОСТЬЮ ИОНИЗОВАННОЙ
ПЛАЗМЫ

A. P. Шубин

(Москва)

Рассмотрено стационарное плоское медленно изменяющееся течение полностью ионизованной невязкой квазинейтральной плазмы в профилированном канале со сплошными металлическими стенками. Учитывается эффект Холла. Показано, что при $\beta \gg 1$, где β — плазменный параметр ($\beta = 8\pi p / B^2$, p — газокинетическое давление плазмы, B — напряженность магнитного поля), ускорение плазмы обязательно сопровождается появлением собственных электромагнитных полей и электрического тока, распределение которого при малых разрядных напряжениях носит вихревой характер. Вихри тока исчезают при увеличении разрядного напряжения. Подробно исследовано ускорение плазмы с изотермическими электронами.

Стационарные течения плазмы с собственным магнитным полем в профилированных плоских и осесимметричных каналах при больших значениях параметра β рассматривались неоднократно (см., например, [1, 2]). Было отмечено, что такие течения могут сопровождаться возникновением приэлектродных вихрей электрического тока и что при уменьшении параметра β вихри исчезают. Цель данной работы — учет эффекта Холла, т. е. учет влияния элементарных механизмов ускорения плазмы [3] на образование электромагнитных полей и токов в ускоряющейся плазме.



Фиг. 1

лении которой канал считается бесконечно широким.

Будем считать, что течение — медленно изменяющееся, а магнитное число Рейнольдса велико ($R_m \gg 1$). Вместо переменной y введем нормированную функцию потока ψ

$$\rho v = m \cdot V \psi \times n_z \quad (1.1)$$

где ρ — плотность плазмы, v — скорость плазмы (ионов), m — секундный массовый расход, т. е. масса плазмы, проходящая за секунду через поперечное сечение канала.

В переменных (x, ψ) система уравнений, описывающая течение, имеет вид [4]

$$\rho v \frac{\partial v}{\partial x} = - \frac{dP}{dx}, \quad P(x) = p(\rho) + \frac{B^2}{8\pi}$$

$$\frac{v_m}{c} \frac{\rho v}{m} \frac{\partial B}{\partial \psi} = - \frac{\partial \Phi_T}{\partial x} + \frac{M}{e\rho} \frac{dP}{dx} \quad \left(v_m = \frac{c^2}{4\pi\sigma} \right) \quad (1.2)$$

$$\frac{B}{\rho c} = - \frac{1}{m} \frac{\partial \Phi_T}{\partial \psi}, \quad \Phi_T = \Phi + \frac{M}{e} \int \frac{dp_i(\rho)}{\rho}$$

Здесь Φ — электрический потенциал плазмы, σ — проводимость плазмы.

Считается, что состояние компонент плазмы описывается политропическими зависимостями $p_{i,e} = p_{i,e}(\rho)$, последнее справедливо при $\beta \gg 1$, поскольку джоулево тепловыделение мало, а влияние теплоотвода или теплоподвода и излучения может быть учтено надлежащим выбором показателя политропы. Если $\beta \gg 1$, то система (1.2) может быть упрощена. Действительно, в нулевом приближении по β^{-1} имеем $P(x) = p(\rho)$, т. е. $\rho = \rho(x)$, при этом из первого уравнения (1.2) получаем

$$\frac{1}{2} v^2 + w(\rho) = F_1(\psi) \quad (w = \int dp(\rho)/\rho) \quad (1.3)$$

Если $F(\psi) = \text{const}$, то из (1.3) следует, что $v = v(x)$. Поскольку $\sigma \sim T^{3/2}$ (T — температура) и, следовательно, $\sigma = \sigma(x)$, можно ввести вместо переменной x переменную η

$$\eta = \int_{x_0}^x \frac{v_m \rho^2 v}{m^{1/2}} dx \quad (1.4)$$

где координата x_0 соответствует входу в канал. Для потенциала Φ и магнитного поля B получаем уравнения

$$\frac{\partial^2 \Phi}{\partial \psi^2} = \frac{\partial \Phi}{\partial \eta} - \frac{M}{e} \frac{dw_e}{d\eta} \quad \left(w_e = \int \frac{dp_e(\rho)}{\rho} \right) \quad (1.5)$$

$$B = - \frac{\rho c}{m} \frac{\partial \Phi}{\partial \psi}. \quad (1.6)$$

Последние слагаемые в правых частях третьего уравнения (1.2) и уравнения (1.5) учитывают эффект Холла; при $\beta \gg 1$ это эквивалентно учету члена $\nabla p_e / en$ в законе Ома.

Из уравнения (1.3) следует, что ускорение плазмы при $\beta \gg 1$ носит газодинамический характер, а распределения полей и тока целиком определяются газодинамическим характером течения. Из наличия правой части в уравнении (1.5) следует, что потенциал плазмы непостоянен даже при отсутствии разности потенциалов между электродами, а из уравнения (1.6) следует, что в плазме имеется собственное (непостоянное) магнитное поле, т. е. по плазме течет электрический ток. Это является естественным следствием трансформации тепловой энергии электронов в энергию направленного движения плазмы (ионов), такая трансформация должна сопровождаться появлением ускоряющего ионы продольного электрического поля [5] и «электронного ветра», т. е. продольного тока [3]. При отсутствии разности потенциалов между электродами разрядный ток отсутствует; следовательно, распределение электрического тока в канале имеет вихревой характер.

2. Если на входе в канал продольный электрический ток отсутствует и электроды эквипотенциальны, то граничные условия к уравнению (1.5) следующие:

$$\Phi(0, \psi) = U\psi, \quad \Phi(\eta, 0) = 0, \quad \Phi(\eta, 1) = U \quad (2.1)$$

Здесь $U = \text{const}$ — разрядное напряжение и принято, что на катоде $\psi = 0$, на аноде $\psi = 1$. Решение уравнения (1.5) с граничными условиями

(2.1) имеет вид

$$\varphi = U\psi - 4 \sum_{k=0}^{\infty} \frac{(-i)^k}{\pi(2k+1)} \cos \left[\pi(2k+1) \left(\psi - \frac{1}{2} \right) \right] \int_0^{\eta} \frac{dw_e(\tau)}{d\tau} \times \\ \times \exp [-\pi^2(2k+1)^2(\eta-\tau)] d\tau \quad (2.2)$$

Обращает на себя внимание четность последнего слагаемого в правой части (2.2) по ψ относительно линии $\psi = 1/2$ — довольно очевидный факт, следующий из симметричности задачи при $U = 0$.

В качестве конкретного примера рассмотрим течение плазмы с изотермичными электронами ($T_e = \text{const} = T$) и ионами ($T_i = T_e$).

При этом $w_e = w/2$ и из уравнения (1.3) имеем

$$\frac{v^2}{2} + \frac{2T}{M} \ln \frac{\rho}{\rho(0)} = \frac{v^2(0)}{2} \quad (2.3)$$

Если выбрать зависимость $\rho(\eta)$ в виде

$$\rho = \rho(0) \exp[-\eta] \quad (2.4)$$

то из (2.3) находим

$$v = [v^2(0) + 4T\eta/M]^{1/2} \quad (2.5)$$

Соотношение (2.2) дает

$$\varphi = U\psi + \frac{T}{2e} \left[\left(\psi - \frac{1}{2} \right)^2 - \frac{1}{4} \right] + \\ + \frac{4T}{e} \sum_{k=0}^{\infty} (-i)^k \exp [-\pi^2(2k+1)^2\eta] \frac{\cos [\pi(2k+1)(\psi-1/2)]}{\pi^3(2k+1)^3} \quad (2.6)$$

Следовательно

$$B = -\frac{\rho(0)c}{m} \exp[-\eta] \left\{ U + \frac{T}{e} \left(\psi - \frac{1}{2} \right) - \right. \\ \left. - 4 \frac{T}{e} \sum_{k=0}^{\infty} (-1)^k \frac{\sin [\pi(2k+1)(\psi-1/2)]}{\pi^2(2k+1)^2} \exp [-\pi^2(2k+1)^2\eta] \right\} \quad (2.7)$$

При $\eta = 0$ два последних слагаемых в фигурной скобке взаимно уничтожаются. Учитывая экспоненциальный спад членов ряда, приближенно можем записать

$$B \approx -\frac{\rho(0)c}{m} \exp(-\eta) \left\{ U + \frac{T}{e} \left(\psi - \frac{1}{2} \right) [1 - \exp(-\pi^2\eta)] \right\} \quad (2.8)$$

Вводя безразмерный параметр κ

$$\kappa = 2eU/T \geq 0$$

перепишем выражение (2.8)

$$B \approx B(0) \exp(-\eta) \{1 + \kappa^{-1}(2\psi - 1)[1 - \exp(-\pi^2\eta)]\} \quad (2.9)$$

где $B(0) = -\rho(0)cU/m$ — магнитное поле на входе в канал ($\eta = 0$).

Рассмотрим подробнее выражение (2.9). Функция $B(\eta, \psi)$ монотонно спадает с ростом ψ ($B(0) \leq 0$), достигая максимума B^* и минимума B_* на электродах $\psi = 0$, $\psi = 1$. При этом

$$B^*(\eta) = B(\eta, 0) = B(0) \exp(-\eta) \{1 - \kappa^{-1}[1 - \exp(-\pi^2\eta)]\} \quad (2.10)$$

$$B_*(\eta) = B(\eta, 1) = B(0) \exp(-\eta) \{1 + \kappa^{-1}[1 - \exp(-\pi^2\eta)]\}$$

Функции $B^*(\eta)$ и $B_*(\eta)$ имеют точки экстремума η_c , соответствующие центрам вихревой структуры электрического тока. При этом

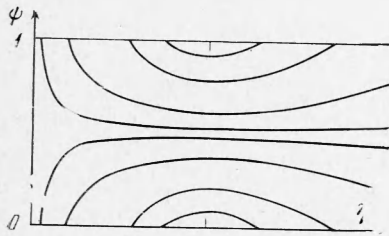
$$\eta_c|_{\psi=0} = \pi^{-2} \ln \left| \frac{1+\pi^2}{1-\kappa} \right|, \quad \eta_c|_{\psi=1} = \pi^{-2} \ln \left| \frac{1+\pi^2}{1+\kappa} \right| \quad (2.11)$$

Уравнение линии $\psi = \psi_0(\eta)$, соответствующей нулевой напряженности магнитного поля, имеет вид

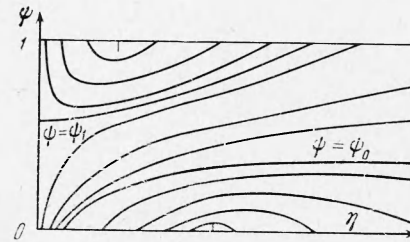
$$\psi_0(\eta) = \frac{1}{2} - \frac{\kappa}{2} [1 - \exp(-\pi^2\eta)]^{-1} \quad (2.12)$$

Таким образом, линия $B = 0$ существует при $\kappa \leq 1$. Если $\psi > \psi_0$, то $B < 0$, если $\psi < \psi_0$, то $B > 0$. При $\kappa = 0$ $\psi_0(\eta) = 1/2$, при $\kappa > 0$ и $\eta \rightarrow \infty$ $\psi_0 \rightarrow (1 - \kappa)/2$.

Рассмотрим вначале случай $\kappa = 0$, когда $B(0) = 0$. При этом $\eta_c|_{\psi=0} = \eta_c|_{\psi=1} = \pi^{-2} \ln(1 + \pi^2)$, точки экстремума линий электрического тока $B(\eta, \psi) = \text{const}$ совпадают с η_c .



Фиг. 2



Фиг. 3

Картина распределения тока в канале при $\kappa = 0$ показана на фиг. 2. При возрастании параметра κ магнитное поле на входе в канал отлично от нуля (отрицательно), имеются две сепаратрисы, ограничивающие области вихревой структуры, одна является линией $\psi_0(\eta)$ нулевой напряженности магнитного поля, другая — линией $B(\eta, \psi) = B(0)$, т. е.

$$\psi = \psi_1(\eta) = \frac{1}{2} + \frac{\kappa}{2} \frac{\exp(\eta) - 1}{4 - \exp(-\pi^2\eta)} \quad (2.13)$$

Сепаратриса $\psi = \psi_1(\eta)$ имеет положительную производную $d\psi_1/d\eta$, она существует (и пересекается с анодом, т. е. допускает значение $\psi = 1$) при $\kappa \leq \pi^2$. Из (2.11) следует, что при возрастании κ прикатодный вихрь тока сдвигается в сторону больших η , а прианодный вихрь тока смещается к входу в канал. Картина распределения электрического тока при $0 < \kappa < 1$ показана на фиг. 3. В случае $\kappa \geq 1$ прикатодный вихрь тока и сепаратриса $\psi = \psi_0(\eta)$ исчезают, и во всем канале $B < 0$ (фиг. 4). По достижении параметром κ значения $\kappa = \pi^2$ исчезает и прианодный вихрь (сепаратриса $\psi_1(\eta)$ стягивается в точку $\eta = 0$, $\psi = 1$ на входе в канал), при $\kappa > \pi^2$ распределение тока в канале безвихревое (фиг. 5).

Условие $\beta \gg 1$, т. е. $B^2/8\pi\rho \ll 1$ можно записать следующим образом:

$$\frac{\rho(0)c^2MT(1+\kappa)^2}{32\pi e^2 m^2} \ll 1 \quad (2.14)$$

Если $v^2(0) \ll 4T/M$, условие (2.14) принимает вид

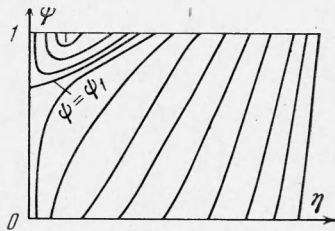
$$\frac{e}{16} \frac{c^2(1+\kappa)^2}{\omega_p^2 f^{*2}} \ll 1 \quad (e = 2.718\dots) \quad (2.15)$$

где $\omega_p^2 = 4\pi e^2 n(0)/M$, f^* — ширина канала в критическом сечении (т. е. там, где $df/dx = 0$).

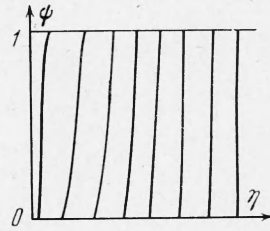
Если $v^2(0) \gg 4T/M$, то из (2.14) получим

$$\frac{T}{Mv^2(0)} \frac{c^2(1+\kappa)^2}{8\omega_p^2 f^2(0)} \ll 1 \quad (2.16)$$

Из условий (2.15), (2.16) следует, что разрядное напряжение не должно быть слишком велико. Увеличение параметра κ соответствует уменьше-



Фиг. 4



Фиг. 5

нию β . Таким образом, приэлектродные вихри тока исчезают при уменьшении β . Параметр обмена $\xi = Mc|B(0)|/4\pi etm$ в рассматриваемой задаче равен

$$\xi = \begin{cases} \frac{c^2 \kappa e}{4\omega_p^2 f^{*2}}, & v^2(0) \ll \frac{4T}{M} \\ \frac{T}{Mv^2(0)} \frac{c^2 \kappa}{2\omega_p^2 f^2(0)}, & v^2(0) \gg \frac{4T}{M} \end{cases} \quad (2.17)$$

Сравнивая (2.17) с (2.14) и (2.15), видим, что

$$\xi \sim \frac{1}{\beta^*} \frac{\kappa}{(1+\kappa)^2} \ll 1 \quad (2.18)$$

Здесь β^* — максимальное значение β .

Для заданного β параметр обмена ξ максимальен при $\kappa = 1$, когда исчезает прикатодный токовый вихрь.

Поступила 13 V 1971

ЛИТЕРАТУРА

- Алексеева Л. М., Соловьев Л. С. Токовые вихри и критические поверхности в магнитогидродинамическом потоке. ПММ, 1964, т. 28, вып. 6.
- Брушлинский К. В., Герлах Н. И., Морозов А. И. Влияние конечной проводимости на двумерное течение плазмы в коаксиальном канале. Магнитная гидродинамика, 1967, № 2.
- Морозов А. И., Артишков Е. В., Соловьев Л. С., Шубин А. П. Некоторые свойства течений проводящего газа в магнитном поле. В сб. «Низкотемпературная плазма», М., «Мир», 1967.
- Морозов А. И., Шубин А. П. К теории плоских течений хорошо проводящей плазмы в канале. ПМТФ, 1970, № 4.
- Плютто А. А. Ускорение положительных ионов в расширяющейся плазме вакуумных искр. ЖЭТФ, 1960, т. 39, вып. 6.